



LA NÉCROPOLE AUX AMANTS PÉTRIFIÉS

RUINES MÉGALITHIQUES DE WANAR
(RÉGION DE KAFFRINE, SÉNÉGAL)

PATRIMOINE MONDIAL DE L'UNESCO

Sous la direction de :
Luc Laporte, Matar Ndiaye, Adrien Delvoye,
Jean-Paul Cros, Aziz Ballouche, Pierre Lamotte,
Selim Djouad, Laurent Quesnel





La nécropole aux amants pétrifiés

*Ruines mégalithiques de Wanar
(Région de Kaffrine, Sénégal)*

Partie des

Cercles mégalithiques de Sénégambie



Sous la direction de

**Luc Laporte, Matar Ndiaye, Adrien Delvoye, Jean-Paul Cros
Aziz Ballouche, Pierre Lamotte, Selim Djouad, Laurent Quesnel**



ARCHAEOPRESS PUBLISHING LTD
Summertown Pavilion
18-24 Middle Way
Summertown
Oxford OX2 7LG
www.archaeopress.com

ISBN 978-1-80327-765-3
ISBN 978-1-80327-766-0 (e-Pdf)

© the authors and Archaeopress 2024

Cover: Fouilles archéologiques aux abords du Monument XVIII. Pierres en lyre F1 et F2. Vue de l'est.
Cliché L. Laporte.



This work is licensed under the Creative Commons Attribution-NonCommercial-NoDerivatives 4.0 International License. To view a copy of this license, visit <https://creativecommons.org/licenses/by-nc-nd/4.0/> or send a letter to Creative Commons, PO Box 1866, Mountain View, CA 94042, USA.

This book is available direct from Archaeopress or from our website www.archaeopress.com

Préface	1
---------	---



Partie I

Introduction

1 – Evolution du milieu naturel au Sénégal, et en Afrique de l’ouest (500-1500 AD) <i>par A. Ballouche, M. Stern</i>	11
2 – Histoire précoloniale du Sénégal (500-1500 AD) <i>par Mamadou Fall</i>	15
3 – Archéologie, protohistoire et monuments funéraires du Sénégal <i>par M. Ndiaye</i>	31
4 – Mégalithes en Afrique de l’Ouest <i>par L. Laporte</i>	44



Partie II

La nécropole mégalithique de Wanar (Sénégal)

1 – Une dualité exacerbée au sein d’un ensemble monumental exceptionnel	63
1.1 – Des ruines dans la vallée	63
1.1.1 – Contexte géographique et géomorphologique <i>Par M. Stern et A. Ballouche</i>	63
1.1.2 – Archéologie de la moyenne vallée du Bao Bolon <i>Par L. Laporte</i>	80
1.2 – Présentation du site archéologique de Wanar	88
1.2.1 – Présentation des ruines mégalithiques <i>par L. Laporte</i>	88
1.2.2 – Prospections archéologiques aux alentours <i>par L. Laporte et A. Delvoye</i>	101
1.2.3 – Histoire des recherches sur la nécropole mégalithique de Wanar <i>par L. Laporte</i>	112
1.3 – Méthodologies mises en œuvre pour l’étude du site archéologique de Wanar	118
Méthodes d’enregistrement et d’étude non invasives	
1.3.1 – Relevés topographiques et mesures de la dimension des monolithes <i>par L. Laporte, R. Bernard, P. Boulinguez</i>	118
1.3.2 – Méthodologie mise en œuvre pour l’étude des traces techniques sur les monolithes <i>par M. Ndiaye et L. Laporte</i>	126

1.3.3 – Prospections géophysiques <i>par V. Mathé et C. Camerlynck</i>	128
Fouilles archéologiques et contextes sédimentaires	
1.3.4 – Méthodologies mise en œuvre pour la fouille archéologique des monuments mégalithiques, et de leurs abords <i>par L. Laporte</i>	135
1.3.5 – Méthodologies mise en œuvre pour la fouille des niveaux sépulcraux. <i>par J.-P. Cros et S Djouad</i>	136
1.3.6 – Méthodologies mise en œuvre pour l'étude des micromorphologie des sols <i>Par M. Onfray et L. Lespez</i>	139
Méthodes d'étude des objets mobiliers	
1.3.7 – Historiographie et méthodologie des recherches sur le mobilier céramique <i>par A. Delvoye</i>	140
1.3.8 – Méthodologies mise en œuvre pour l'étude du mobilier métallique <i>par P. Lamotte et B. Armbruster</i>	160
1.3.9 – Méthodologie mise en œuvre pour l'étude des restes textiles <i>Par F. Médard</i>	164
Méthodes d'étude des paléoenvironnements, et datations au radiocarbone	
1.3.10 – Méthodologie mise en œuvre pour l'étude des paléoenvironnements <i>par A. Ballouche, A. Garnier, D. Landry, T. Otto, M. Stern, E. Weisskopf</i>	165
1.3.11 – Analyses bayésiennes des datations au radiocrabone <i>par J.-C. Lefevre</i>	175
2 – Cercles mégalithiques aux monolithes étroits et allongés	177
2.1 – Le monument I : unicité d'un cercle double	177
2.1.1 – Les ruines du monument I <i>par L. Laporte, M. Ndiaye, R. Bernard, J.-P. Cros</i>	177
Fouilles archéologiques aux abords du monument I	
2.1.2 – Fouilles archéologiques aux abords du monument I et de sa ligne frontale de pierres dressées <i>par L. Laporte, A. Delvoye, V. Dartois, M. Lejay, L. Quesnel</i>	182
2.1.3 – Dépôts et mobiliers céramiques recueillis aux abords du monument I <i>par A. Delvoye</i>	197
Fouille archéologique du monument I	
2.1.4 – Fouille archéologique du monument I <i>Par L. Laporte, A. Delvoye, V. Dartois, J.-P. Cros, A. Athie, L. Quesnel</i>	227

2.1.5 – Le remplissage de la fosse 2 : étude micro-morphologique <i>Par L. Lespez</i>	245
2.1.6 – Les phytolithes présents dans le remplissage de la fosse 2 <i>Par A. Garnier</i>	248
2.1.7 – Les charbons de bois présents dans la passe 3, sous le monument I <i>Par T. Otto</i>	249
2.1.8 – Etude des ossements humains et des pratiques sépulcrales associées au monument I <i>Par J.-P. Cros et S. Djouad</i>	249
2.1.9 – Présentation du mobilier métallique associé aux dépôts sépulcraux de la fosse 1 <i>Par P. Lamotte</i>	276
2.1.10 – Vestiges de matériel organique au sein des produits de corrosion des objets métalliques <i>Par F. Médard</i>	283
2.1.11 – Un anneau et une perle biconique en or associés aux dépôts sépulcraux de la fosse 1 <i>Par B. Armbruster</i>	286
2.1.12 – Le mobilier céramique des fosses funéraires et de la plateforme, du monument I <i>Par A. Delvoye</i>	288
Datations et séquences pour le monument I	
2.1.13 – Séquence des événements qui se sont déroulés à l'emplacement des ruines du monument I <i>par L. Laporte</i>	298
2.1.14 – Datations radiocarbone associées à la séquence du monument I <i>par L. Laporte, J.-C. Lefèvre, C. Oberlin</i>	303
2.2 – Le monument II : les deux font la paire ?	307
2.2.1 – Les ruines du monument II <i>Par L. Laporte, M. Ndiaye, R. Bernard, J.-P. Cros</i>	307
Fouilles archéologiques aux abords du monument II	
2.2.2 – Fouilles archéologiques aux abords du monument II et de son unique pierre frontale <i>Par L. Laporte, A. Delvoye, M. Ndiaye, J.-P. Cros, A. Athie, A. Ndiaye</i>	310
2.2.3 – Condamnation de puits antérieur au Monument II : analyse micromorphologique <i>Par M. Onfray</i>	327
2.2.4 – Etude des charbons de bois recueillis aux abords du monument II <i>Par T. Otto</i>	332
2.2.5 – Dépôts et mobiliers céramiques recueillis aux abords du monument II <i>Par A. Delvoye</i>	332
2.2.6 – Un fragment de tôle (perle) en or recueilli à la base de l'éboulis du Monument II <i>Par B. Armbruster</i>	376

Fouille archéologique du monument II	
2.2.7 – Fouille archéologique du monument II	376
<i>Par L. Laporte, A. Delvoye, P. Lamotte, M. Ndiaye, J.-P. Cros, L. Rocha, A. Athie, S. Djouad, A. Ndiaye</i>	
2.2.8 – Dépôts sépulcraux sous le monument II - Etude Anthropologique	391
<i>Par J.-P. Cros et S. Djouad</i>	
2.2.9 – Mobilier métallique provenant du monument II	410
<i>Par P. Lamotte</i>	
Datations et séquences pour le monument II	
2.2.10 – Séquence des événements qui se sont déroulés à l'emplacement des ruines du monument II	415
<i>par L. Laporte</i>	
2.2.11 – Datations radiocarbone associées à la séquence du Monument II	418
<i>par L. Laporte, J.-C. Lefèvre, C. Oberlin</i>	
2.3. Le monument XIX : isolé et singulier	421
2.3.1 – Les ruines du monument XIX	421
<i>par L. Laporte et R. Bernard</i>	
Fouilles archéologiques aux abords du monument XIX	
2.3.2 – Fouilles archéologiques aux abords du monument XIX et de son alignement frontal de pierres dressées.	421
<i>par L. Laporte, V. Dartois, A. Delvoye, A. Athie, F. Cissé, M. Lejay, L. Quesnel</i>	
2.3.3 – Dépôts et mobiliers céramiques recueillis aux abords du monument X	437
<i>Par Adrien Delvoye</i>	
Fouille archéologique du monument XIX	
2.3.4 – Fouille archéologique du monument XIX	472
<i>par L. Laporte, M. Lejay, A. Delvoye, V. Dartois, S. Djouad, J.-P. Cros, A. Athie, L. Quesnel</i>	
2.3.5 – Dépôts sépulcraux sous le monument XIX : étude Anthropologique	484
<i>par S. Djouad et J.-P. Cros</i>	
2.3.6 – Mobilier métallique associé aux niveaux sépulcraux, sous le monument XIX	502
<i>par P. Lamotte</i>	
2.3.7 – Vestiges de matériel organique au sein des produits de corrosion des objets métalliques	512
<i>par Fabienne Médard</i>	
2.3.8 – Etude des charbons de bois recueillis dans la fosse sépulcrale du monument XIX	518
<i>par T. Otto</i>	
2.3.9 – Le mobilier céramique des fosses funéraires et de la plateforme du monument XIX	518
<i>par A. Delvoye</i>	
2.3.10 – Fragments remaniés d'enduits en terre crue	524
<i>par A. Delvoye</i>	

Datations et séquences pour le monument XIX	
2.3.11 – Séquence des évènements qui se sont déroulés à l'emplacement des ruines du monument XIX <i>Par L. Laporte</i>	533
2.3.12 – Datations radiocarbone associées à la séquence du Monument XIX <i>par L. Laporte, J.-C. Lefèvre, C. Oberlin</i>	538
2.4 – Au sud de la nécropole de Wanar	541
Autres ruines mégalithiques aux monolithes étroits et allongés.	
2.4.1 – Les ruines du monument III <i>Par L. Laporte, M. Ndiaye, R. Bernard, J.-P. Cros</i>	541
2.4.2 – Les ruines du monument IV <i>Par L. Laporte, M. Ndiaye, R. Bernard, J.-P. Cros</i>	544
2.4.3 – Les ruines du monument V <i>Par L. Laporte, M. Ndiaye, R. Bernard, J.-P. Cros</i>	546
2.4.4 – Les ruines du monument VI <i>Par L. Laporte, R. Bernard</i>	549
2.4.5 – Les ruines du monument VII <i>Par L. Laporte, M. Ndiaye, R. Bernard, J.-P. Cros</i>	551
2.4.6 – Les ruines du monument VIII <i>Par L. Laporte, M. Ndiaye, R. Bernard, J.-P. Cros</i>	553
2.4.7 – Les ruines du monument IX <i>Par L. Laporte, M. Ndiaye, R. Bernard, J.-P. Cros</i>	557
2.4.8. Les ruines du monument X <i>Par L. Laporte, M. Ndiaye, R. Bernard, J.-P. Cros</i>	560
Une place dépourvue de tout vestige au centre de la nécropole	
2.4.9 – Une tranchée d'expertise entre les ruines des monuments I et IX : observations archéologiques <i>par L. Laporte</i>	562
2.4.10 – Une tranchée d'expertise entre les ruines des monuments I et IX : données sédimentologiques <i>par M. Stern, D. Landry et A. Ballouche</i>	565
Premiers éléments de synthèse, pour la partie sud de la nécropole	
2.4.11 – Séquence des évènements associés aux mégalithes disposant de monolithes étroits et allongés <i>Par L. Laporte</i>	566
2.4.12 – Sériation du mobilier céramique associé aux séquences des monuments aux monolithes étroits et allongés <i>par A. Delvoye</i>	575

2.4.13 – Premières conclusions pour la partie sud de la nécropole <i>par L. Laporte, avec la coll. de Y. Bernard</i>	620
3. Cercles mégalithiques aux monolithes courts et trapus	625
3.1. Le monument XX : deux lignes de pierres frontales, comme un prolongement	625
3.1.1 – Les ruines du monument XX <i>Par L. Laporte et R. Bernard</i>	625
Fouilles archéologiques aux abords du monument XX	
3.1.2 – Fouilles archéologiques aux abords du monument XX et de ses deux alignements de pierres frontales <i>Par L. Laporte, P. Gouézin, A. Delvoye, F. Cissé, H. Pioffet, A. Athie, L. Quesne, A. Ndiaye</i>	628
3.1.3 – Une perle biconique en or recueillie dans l'éboulis du monument XX <i>Par B. Armbruster</i>	641
3.1.4 – Dépôts et mobilier céramique recueillis aux abords du monument XX <i>Par A. Delvoye</i>	642
Fouille archéologique du monument XX	
3.1.5 – Fouille archéologique du monument XX <i>Par L. Laporte, S. Djouad, P. Gouézin, A. Delvoye, F. Cissé, H. Pioffet, A. Athie, L. Quesne, A. Ndiaye</i>	668
3.1.6 – Etude des ossements humains, et des pratiques sépulcrales, associés au Monument XX <i>par J.-P. Cros, S. Djouad, A. Chen</i>	683
3.1.7 – Présentation du mobilier en fer et en base cuivre recueilli dans les niveaux funéraires du Monument XX <i>Par P. Lamotte</i>	699
3.1.8 – Vestiges de matériel organique au sein de produits de corrosion des objets métalliques <i>par F. Médard</i>	712
3.1.9 – Une petite perle discoïde en schiste recueillie dans la fosse n°2 du monument XX <i>Par L. Laporte</i>	718
3.1.10 – Etude des charbons de bois recueillis dans la fosse n°2 du monument XX <i>Par T. Otto</i>	718
3.1.11 – Phytolithes présents dans les sédiments de la fosse sépulcrale du monument XX <i>Par E. Weisskopf</i>	719
Datations et séquences pour le monument XX	
3.1.12 – Séquence des événements qui se sont déroulés à l'emplacement des ruines du monument XX <i>Par L. Laporte</i>	722
3.1.13 – Datations radiocarbone associées à la séquence du monument XX <i>par L. Laporte, J.-C. Lefèvre, C. Oberlin</i>	728

3.2. Le monument XVIII et ses pierres bifides, à l’emblème d’un patrimoine inestimable	729
3.2.1 – Les ruines du monument XVIII	729
<i>Par L. Laporte, M. Ndiaye, R. Bernard, J.-P. Cros</i>	
Fouilles archéologiques aux abords du monument XVIII	
3.2.2 – Fouilles archéologiques aux abords du monument XVIII et de ses quatre pierres en lyre	733
<i>Par L. Laporte, A. Delvoye, F. Cissé, A. Ndiaye</i>	
3.2.3 – Une perle en or dans l’effondrement du monument XVIII	751
<i>Par B. Armbruster</i>	
3.2.4 – Une lame d’herminette recueillie en surface du monument XVIII	753
<i>par A. Camara</i>	
3.2.5 – Dépôts et mobilier céramique recueillis aux abords du Monument XVIII	754
<i>Par A. Delvoye</i>	
Fouille archéologique du monument XVIII	
3.2.6 – Fouille archéologique du monument XVIII	790
<i>Par L. Laporte, F. Cissé, A. Chen, S. Djouad, A. Delvoye, A. Ndiaye</i>	
3.2.7 – Etude des ossements humains, et des pratiques sépulcrales, associés au Monument XVIII	799
<i>Par J.-P. Cros et S. Djouad</i>	
3.2.8 – Présentation du mobilier métallique associé au monument XVIII	810
<i>Par P. Lamotte</i>	
3.2.9 – Vestiges de matériel organique au sein des produits de corrosion des objets métalliques	811
<i>Par F. Médard</i>	
Datations et séquences pour le monument XVIII	
3.2.10 – Séquence des évènements qui se sont déroulés à l’emplacement des ruines du monument XVIII	815
<i>Par L. Laporte</i>	
3.2.11 – Datations radiocarbone associées à la séquence du Monument XVIII	818
<i>Par L. Laporte, J.-C. Lefèvre, C. Oberlin</i>	
3.3. Le monument XIV : petit mais costaud	821
3.3.1 – Les ruines du monument XIV	821
<i>Par L. Laporte, M. Ndiaye et R. Bernard</i>	
Fouilles archéologiques aux abords du monument XIV	
3.3.2 – Fouilles archéologiques aux abords du monument XIV et de son unique pierre frontale	823
<i>Par L. Laporte, A. Delvoye, F. Cissé, H. Pioffet, A. Ndiaye</i>	
3.3.3 – Etude micro-morphologique d’un bloc de sédiments prélevé à l’extérieur du monument XIV	834
<i>Par L. Lespez</i>	
3.3.4 – Phytolithes présents dans les sédiments situés à l’extérieur du dispositif monumental	837
<i>par A. Garnier, E. Weiskopff</i>	

3.3.5 - Dépôts et mobilier céramique recueillis en façade du monument XIV <i>Par A. Delvoye</i>	838
Fouille archéologique du monument XIV	
3.3.6 – Fouille archéologique du monument XIV <i>Par L. Laporte, S. Djouad et A. Delvoye</i>	869
3.3.7 – Restauration du monument XIV <i>Par L. Laporte</i>	885
3.3.8 – Monument XIV : étude des ossements humains et des pratiques sépulcrales <i>par S. Djouad et J.-P. Cros</i>	894
3.3.9 – Présentation du mobilier métallique associé au monument XIV <i>Par P. Lamotte</i>	898
3.3.10 - Une perle en or au sein du mobilier de la couche sépulcrale, sous le monument XIV <i>Par B. Armbruster</i>	903
3.3.11 Le mobilier céramique des fosses funéraires et de la plateforme du monument XIV <i>Par A. Delvoye</i>	904
3.3.12 – Charbons de bois recueillis au centre du cercle de pierres dressées et dans la fosse sépulcrale du monument XIV <i>Par Thierry Otto</i>	908
Datations et séquences pour le monument XIV	
3.3.13 – Séquence des événements qui se sont déroulés à l'emplacement des ruines du monument XIV <i>Par L. Laporte</i>	909
3.3.14 – Datations par le radiocarbone associées à la séquence du monument XIV <i>par L. Laporte, J.-Y. Lefèvre, C. Oberlin</i>	913
3.4 – De larges décapages aux abords des monuments XIII et XV, et autres ruines mégalithiques aux monolithes courts et trapus	915
Le monument XIII	
3.4.1 – Les ruines du monument XIII <i>par L. Laporte et R. Bernard</i>	915
3.4.2 – Décapages aux abords du monument XIII <i>par L. Laporte, A. Delvoye, F. Cissé, H. Pioffet, A. Athie</i>	917
3.4.3 – Dépôts et mobilier céramique recueillis aux abords du monument XIII <i>Par A. Delvoye</i>	926
3.4.4 – Séquence des événements et datations radiocarbone d'échantillons associés au monument XIII <i>par L. Laporte, J.-C. Lefèvre, C. Oberlin</i>	942
Le monument XV	
3.4.5 – Les ruines du monument XV <i>Par L. Laporte, M. Ndiaye, R. Bernard, J.-P. Cros</i>	943

3.4.6 – Décapages aux abords du monument XV <i>Par L. Laporte, A. Delvoye, F. Cissé, H. Pioffet, A. Athie</i>	947
3.4.7 – Dépôts et mobilier céramique recueillis aux abords du monument XV <i>Par A. Delvoye</i>	953
3.4.8 – Etude des charbons de bois provenant d'un foyer allumé contre le monument XV <i>Par T. Otto</i>	980
3.4.9 – Séquence des évènements et datations radiocarbone d'échantillons associés au monument XV <i>par L. Laporte, J.-C. Lefèvre, C. Oberlin</i>	980
Autres ruines mégalithiques aux monolithes courts et trapus.	
3.4.10 – Les ruines du monument XXI <i>Par L. Laporte, M. Ndiaye et R. Bernard</i>	980
3.4.11 – Les ruines du monument XVII <i>Par L. Laporte, M. Ndiaye, R. Bernard, J.-P. Cros</i>	982
3.4.12 – Les ruines du monument XVI <i>Par L. Laporte, M. Ndiaye, R. Bernard, J.-P. Cros</i>	984
3.4.13 – Les ruines du monument XII <i>Par L. Laporte, M. Ndiaye, R. Bernard, J.-P. Cros</i>	986
3.4.14 – Les ruines du monument XI <i>Par L. Laporte, M. Ndiaye, R. Bernard, J.-P. Cros</i>	990
Première synthèse des traces techniques observées sur le fût des monolithes dressés verticalement	
3.4.15 – Traces techniques observées sur les monolithes courts trapus, comparées à celles des monolithes étroits et allongés <i>par M. Ndiaye, L. Laporte</i>	994
3.5 – Au nord de la nécropole de Wanar	1001
De larges décapages archéologiques entre les mégalithes, au nord	
3.5.1 – De larges décapages à l'est et à l'ouest du monument XIV <i>par L. Laporte</i>	1001
3.5.2 – De larges décapages au sud du monument XVIII <i>par L. Laporte</i>	1006
3.5.3 – Un monument inachevé au nord du monument XVIII ? <i>par L. Laporte</i>	1019
3.5.4 – Mobilier céramique recueilli entre les monuments XV et XVIII <i>par Adrien Delvoye</i>	1022
3.5.5 – Etude de charbons de bois recueillis entre les monuments XIV et XV <i>par T. Otto</i>	1036

Les carrières

3.5.6 - Modalités de l'exploitation 1037
par L. Laporte, A. Delvoye, J.-B. Barreau, M. Ndiaye et al. L. Quesnel

3.5.7 – Prospections géophysiques 1060
par V. Mathé

3.5.8 – Chaînes opératoires 1064
par L. Laporte, M. Ndiaye, J.-B. Barreau, J.-P. Cros

Premiers éléments de synthèse, pour la partie nord de la nécropole

3.5.9 – Séquence des évènements associés aux mégalithes
 disposant de monolithes courts et trapus 1075
Par L. Laporte

3.5.10 – Sériation du mobilier céramique associé aux séquences
 des monuments aux monolithes courts et trapus 1092
par A. Delvoye

3.5.11 – Premières conclusions pour la partie sud de la nécropole 1128
par L. Laporte, avec la coll. de Y. Bernard

4 – Premiers éléments de synthèse, pour la nécropole de Wanar 1133

4.1 – Paléoenvironnements et dynamique des paysages au cours
 des deux derniers millénaires dans la moyenne vallée du Bao Bolon 1133
par Aziz Ballouche, Mathilde Stern, Emmanuel Weiskopff, David Landry, Aline Garnier, Thierry Otto, Luc Laporte

4.2 – Pratiques funéraires 1146

4.2.1 - Architectures 1146
par L. Laporte, avec la coll. de Y. Bernard

4.2.2 – Pratiques sépulcrales 1154
par J.-P. Cros et S. Djouad

4.2.3 – Etude chimique d'échantillons de sols issus de quatre monuments mégalithiques 1161
par M. Guiavarc'h et J.-C. Le Bannier

4.3 – Les arts du feu 1165

4.3.1 – Etude des objets en céramique 1165
par A. Delvoye

4.3.2 – Etude des objets en or 1193
par B. Armbruster

4.3.3 – Etude des objets en cuivre ou en fer 1194
par P. Lamotte

4.3.4 – Etude des charbons de bois 1213
par T. Otto

4.4. Conclusion 1215

4.4.1 – Analyse bayésienne des datations au radiocarbone 1215
par L. Laporte, J.-C. Lefèvre, C. Oberlin

4.4.2 – Périodisation des événements au sein de la nécropole mégalithique de Wanar <i>par L. Laporte</i>	1217
4.4.3 – Retour vers le futur : des rites funéraires différés, en trois temps <i>par L. Laporte</i>	1226



Partie III

Mégalithes du Sénégal et de la Gambie

1 – Monde des vivants et des morts : un espace cérémoniel et monumental	1245
1.1 – Architectures <i>par Luc Laporte, C. Camerlynck, V. Mathé, P. Boulinguez, A. Camus, P. Ndiaye</i>	1245
1.2 – Pratiques sépulcrales <i>par Jean-Paul Cros et Luc Laporte</i>	1285
1.3 – Variabilité des pratiques sépulcrales par type de monument <i>par Luc Laporte</i>	1331
2 – Une dualité pétrifiée pour l'éternité : les pierres en lyre	1337
2.1 – Poterie, culte et gémellité <i>par J. Rivallain</i>	1337
2.2 – Représentations <i>par L. Laporte, A. Delvoye</i>	1345
3 – Le commun et le sacré : questions d'identités	1361
3.1 – Des traditions potières aux pratiques symboliques dans l'Afrique de l'ouest médiévale <i>par A. Delvoye</i>	1361
3.2 – Des bijoux et des armes <i>par P. Lamotte</i>	1399
4 – Bâisseurs de mégalithes aux temps de l'empire du Ghana <i>par Laporte et al.</i>	1415
Conclusion <i>par L. Laporte et M. Ndiaye</i>	1423
Bibliographie	1425
Liste des auteurs	1460

et de trois couvercles, une jatte à profil rentrant, une jarre à pâte blanche et quatre bols à pâte blanche. Ajoutons à ces éléments la présence de deux jarres à décors d'incisions obliques (N = 2) et d'une jarre à décor de *FSR*. Ces deux dernières productions apparaissent ici en partie contemporaines de vases à épaulement caréné marqué, dont les exemplaires entiers se placent en passe 2. C'est également à ce niveau que sont localisés les seuls exemplaires de vases à épaulement caréné non marqué. Cette catégorie semble ici faire l'intermédiaire avec les exemplaires à carène non marquée réalisés sur pâte blanche et engobés de rouge.

2.2.6 – Un fragment de tôle (perle) en or recueilli à la base de l'éboulis du Monument II

Par Barbara Armbruster

Ce fragment de tôle en or, correspondant probablement à une perle tubulaire, a été recueilli en 2014 au sein de la passe 3, à la base de l'éboulis du monument II, dans le carré L3 (2.2.6 - fig. 1). Il pèse 0,36 g (avec sédiment) ; longueur : 14,29 mm ; diamètre : 4,93 mm x 3,6 mm ; épaisseur tôle : 0,12 mm - 0,15 mm. Ce fragment de tôle enroulé, probablement formant une partie d'une perle cylindrique / tubulaire, est endommagé par déformation et arrachement de parties manquantes (2.2.6 - fig. 2). Il montre une autre version de la fabrication de perles en or, par rapport aux quatre autres recueillies sur le site de Wanar, en partant d'une tôle fine martelée qui sera ensuite enroulé sur un mandrin. Les bords de la tôle qui devrait avoir eu une forme rectangulaire au départ, sont fortement endommagés. Aujourd'hui cet objet fragmenté montre un chevauchement de bords arrachés (2.2.6 - fig. 3).

Fouille archéologique du monument II

2.2.7 – Fouille archéologique du monument II

Par L. Laporte, A. Delvoye, P. Lamotte, M. Ndiaye, J.-P. Cros, L. Rocha, A. Athie, S. Djouad, A. Ndiaye.

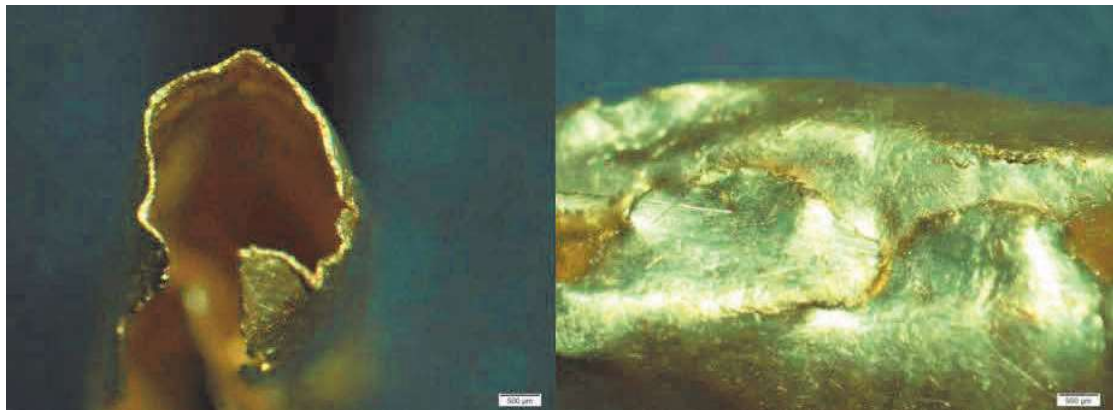
Au centre du cercle de pierres dressées, une banquette nord-sud de 50 cm de large a été réservée afin de pouvoir disposer au final d'une grande coupe reliant les monuments I et II. Cette banquette transversale délimite deux moitiés est et ouest, à l'intérieur du cercle de pierres dres-



2.2.6 - Fig. 1 - Fragment de tôle endommagé (perle ?) provenant du monument II. Clichés photographiques : B. Armbruster.



2.2.6 - Fig. 2 - Contours arrachés du fragment de tôle endommagé provenant du monument II. Clichés photographiques : B. Armbruster.



2.2.6 - Fig. 3 - Fragment de tôle endommagé (perle ?) provenant du monument II : ouverture sur une extrémité et chevauchement de tôles. Clichés photographiques : B. Armbruster

sées. Chacun de ces deux secteurs, est et ouest, fut fouillé successivement. Dans les deux cas, un cône de terre occupe le centre de l'espace étudié, qui recouvre les vestiges conservés en élévation d'une construction en terre crue. La moitié est fut fouillée en premier. Le cône de terre repose sur un niveau horizontal, plus charbonneux (2.2.7 fig. 1 A et C). En dessous de celui-ci apparaissent les vestiges de la construction en briques de terre crue (2.2.7 fig. 1 D et F). A l'ouest, quelques fragments de monolithes effondrés sur le remplissage avaient été préalablement déplacés (2.2.7 fig. 1 E). Des nodules de latérite correspondant à l'effondrement concomitant des murettes intercalaires entre chacun de ces monolithes, se trouvaient piégés sous le fut tronqué des blocs effondrés, à l'intérieur du cercle de pierres dressées (2.2.3 fig. 4). En dessous se trouve le dôme de terre (2.2.7 fig. 2 A et B). Quelques nodules de latérite ont glissé vers l'extérieur du cercle de pierres dressées, le long de la pente de ce dôme de terre (2.2.7 fig.3). Ils marquent alors un niveau qui est situé quelques centimètres en dessous de la base du décapage 3 (2.2.7 fig.4 A et B). Les constructions sous-jacentes, au centre du cercle de pierres dressées, pourraient avoir été érigées avant la mise en place des sédiments correspondant à la passe 3. En revanche, les fosses de calage individualisées pour chacun des monolithes sont apparues au cours de la passe 3 (2.2.7 fig. 2 C et D). L'ensemble des événements que nous décrirons par la suite, sont assurément antérieurs à la construction du monument mégalithique. Enfin, une petite fosse avait été aménagée au détriment de ce cône de terre, à l'ouest également (2.2.7 fig.4 E et G). Elle contient une lame d'herminette en fer, à emmanchement interne (2.2.7 fig.5). Un objet

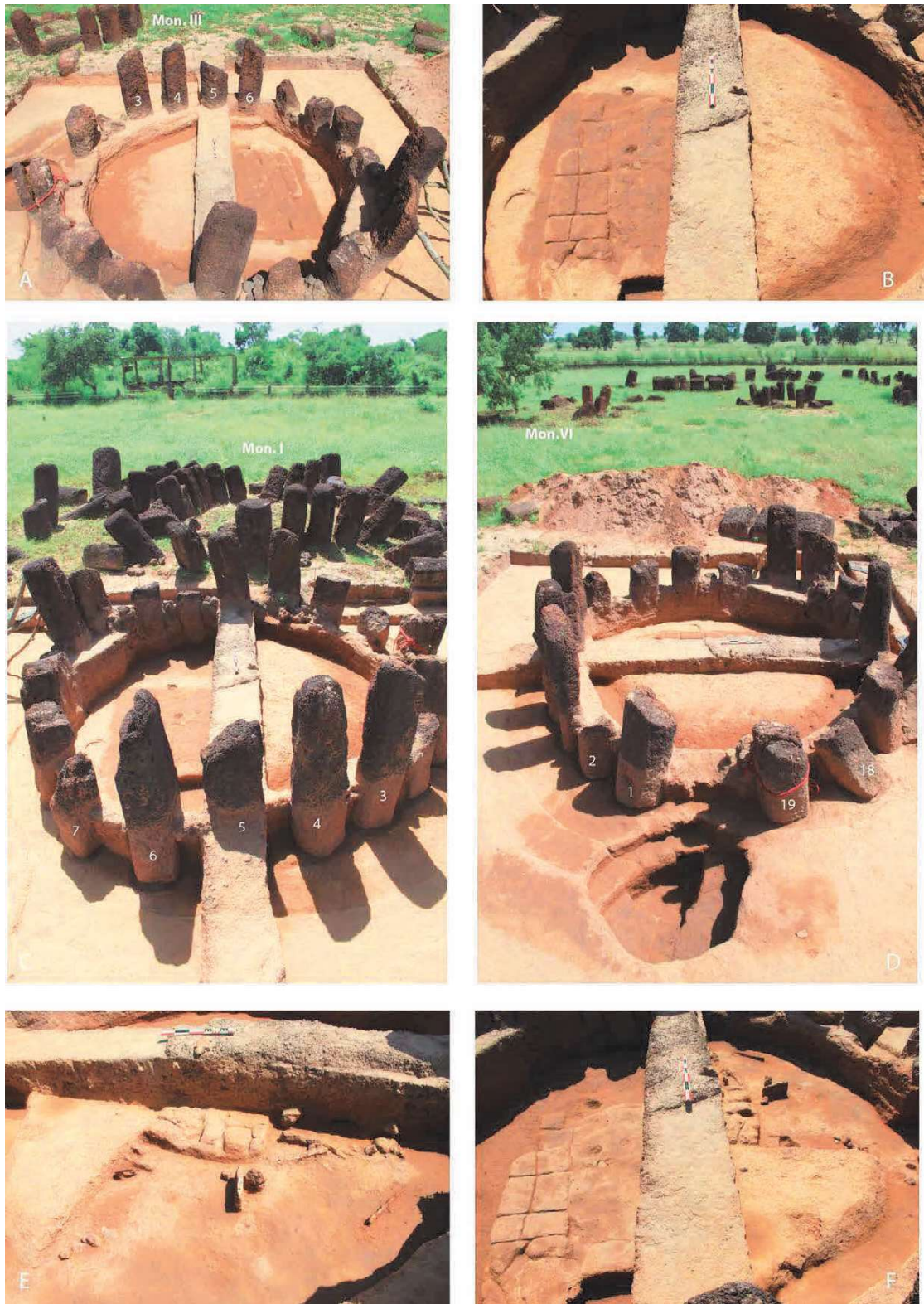
similaire a été recueilli lors de la fouille de l'un des tumulus protohistoriques de Rao (**Jouare ref.** : 278), dans le nord du Sénégal. Quelques relations ethnographiques mentionnent effectivement l'abandon sur la tombe de l'objet qui a servi au creusement de la chambre sépulcrale : chez les Coniagui, dans l'ouest de la Guinée, «le manche de la pioche qui a servi à creuser la tombe est abandonné, le fer en est soigneusement lavé.» (Lestrangle 1955), alors que chez les Kissi, en Guinée forestière, «on abandonne [sur la tombe] le manche de houe et le fragment de bol en bois qui ont servi à creuser la fosse.» (Paulme 1954).

2.2.7.1 - UNE PLATEFORME QUADRANGULAIRE EN TERRE CRUE CONSTRUITE EN ÉLÉVATION

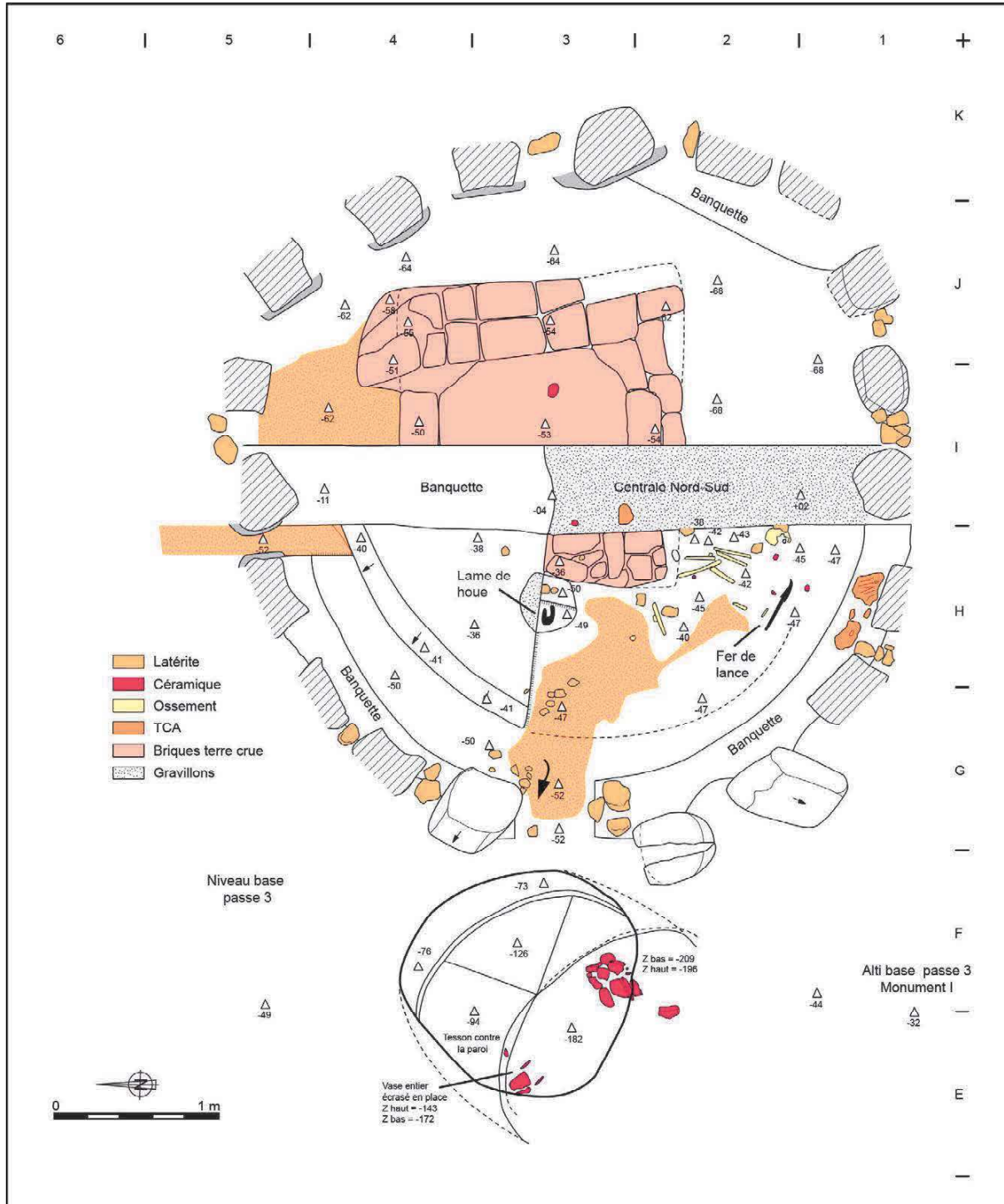
A l'ouest comme à l'est, les vestiges en élévation d'une plateforme en terre crue ont ensuite été dégagés (2.2.7 fig.6). Quelques ossements humains reposaient sur le coin sud-ouest de cette construction : il s'agit des vestiges de deux sépultures primaires, peut-être simultanées, dont il ne subsistait plus que les crânes ou des os longs (2.2.7 fig.4 B et D). A moins d'observations extrêmement fines et détaillées sur le terrain, du type de celles réalisées par nos collègues anthropologues, les mêmes vestiges auraient probablement été interprétés, hâtivement, comme autant de dépôts secondaires. Un fer de lance est directement associé à ces ossements humains (2.2.7 fig.4 F). Puis la banquette nord-sud de 50 cm de large a été démontée de façon à dégager la construction en terre dans son intégralité. Une bague en métal cuivreux a été recueillie en place, à cette occasion. De par la nature de l'argile employée, celle-ci se distingue moins



2.2.7 - Fig. 1 : Fouilles du monument II - Fouille de la zone interne au cercle de pierres dressées dans sa moitié est. Un dôme de terre a d'abord été dégagé (clichés A - vue du nord, et C - vue du sud) qui repose sur un niveau charbonneux (cliché B - vue du nord-ouest), en dessous duquel les vestiges en élévation d'une plateforme bâtie en terre crue ont été dégagés (cliché D et F). Les fragments supérieurs de fûts de monolithes cassés, à l'ouest ont également été déplacés (cliché E - vue du sud). Clichés A. Delvoye, S. Djouad et L. Laporte.



2.2.7 - Fig. 2 : Fouilles du monument II - Fouille de la zone interne au cercle de pierres dressées dans sa moitié ouest. Un dôme de terre a d'abord été dégagé (clichés A - vue du sud, B et C - vues du nord, D - vue de l'ouest). Il recouvre la partie ouest d'une plateforme en terre contre laquelle furent recueillis les ossements humains de deux personnes, notamment associés à un fer de lance (clichés E - vue de l'ouest et F - vue du nord). Clichés A. Delvoye, S. Djouad et L. Laporte.



2.2.7 - Fig. 3 : Fouilles du monument II - Zone interne au cercle de pierres dressées - Fouille de la plateforme en terre à l'est et du cône de terre à l'ouest. Les altimétries sont en cm et rapportées au niveau 0 du chantier. Relevés de terrain : A. Delvoye ; DAO L. Quesnel et L. Laporte.

nettement des sédiments environnants que ce ne fut le cas par exemple pour les monuments XIV, XVIII et XX, tous trois aux monolithes courts et trapus : il faudra revenir sur ce type d'observations à l'occasion de nouvelles fouilles pour savoir si la matière première employée, comme les techniques de construction en terre, diffèrent également lorsqu'elles sont associées à des architectures en pierre et à des monolithes de morphologie distinctes, au sein du dispositif mégalithique.

2.2.7.2 - EMPRISE D'UNE LARGE FOSSE SÉPULCRALE

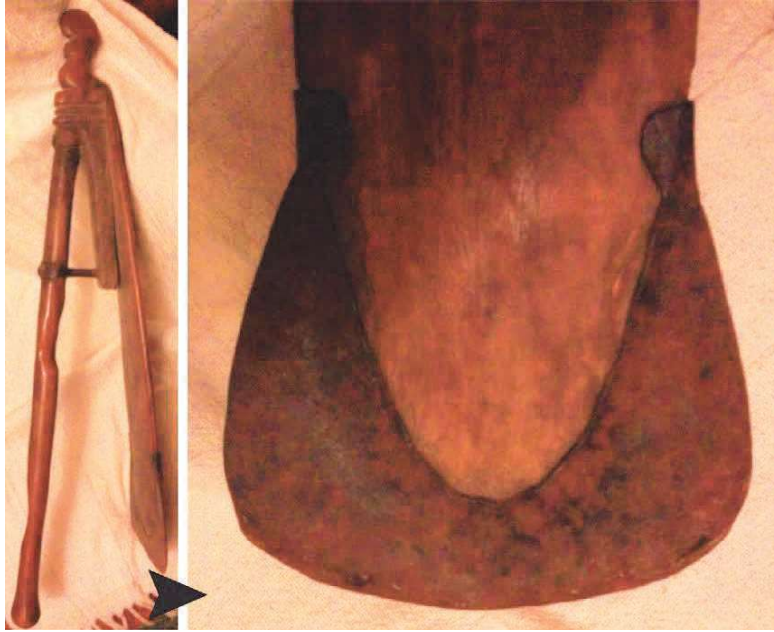
La plateforme quadrangulaire bâtie avec de la terre crue repose sur un niveau de sol qui contenait des éléments de torchis, brûlés (2.2.7 - Fig.3). A ce niveau stratigraphique, à l'intérieur du cercle de pierres dressées, l'enchevêtrement de différents creusements et des comblements qui leurs sont associés, contemporains ou sous-jacents à la construction en terre crue, ajoute un niveau de complexité supplémentaire (2.2.7 - Fig.6 et 7). A l'occasion de l'étude des abords du monument II nous nous sommes déjà interrogés sur les contours d'une grande fosse, comblée, au-dessus de laquelle le mégalithe aurait été construit. A l'intérieur du cercle de pierres dressées, sous la construction en terre, plusieurs contours de «fosses» ont également été dégagés : ceux d'une large fosse peu profonde ont d'abord été identifiés, au sein de laquelle un comblement plus sombre était directement associé aux ossements humains (2.2.7 Fig. 7 G et H). Ce comblement plus sombre (US 14) présente une forme quadrangulaire aux angles arrondis d'environ 2 mètres de large pour 3 m de long,

pour une vingtaine de centimètres d'épaisseur. Nous avons émis l'hypothèse qu'il pourrait s'agir d'un contenant en matière périssable, de type couffin (2.2.7 - Fig.8 A et B).

Deux ensembles d'ossements humains ont été mis au jour, au nord et au sud de cette dernière structure. Au sud, il s'agit principalement d'os longs et de crânes. Un bracelet en métal cuivreux a été recueilli juste sous ces ossements humains qui sont également limités par un effet de paroi interne. Ils semblent s'être trouvés coincés entre la paroi du contenant et un objet quadrangulaire, en matière périssable, situé au centre du dispositif. Au nord, en revanche, il s'agit exclusivement de fragments osseux très morcelés et assez mal conservés. Ils semblent avoir été déposés sur le fond de la structure (2.2.7 - Fig.9). S'il s'agit bien d'un couffin, celui-ci aurait été déposé sur le fond d'une large fosse peu profonde dont l'emprise reste toutefois un peu incertaine compte tenu des différentes observations effectuées successivement : peut-être était-elle seulement circonscrite dans l'espace enclos par les pierres dressées, ou plus probablement s'agit-il d'une emprise plus large encore avec des différences de sédiment dans son remplissage (2.2.7 - Fig.10 A et B). Dans tous les cas, l'existence de ce premier creusement est attestée par la présence d'un gros bloc de latérite décimétrique à la base de ce que nous avons identifié comme étant le comblement de cette large fosse : de tels blocs de latérite sont absents du sédiment encaissant, et ne peuvent être que le fruit d'un apport anthropique. Enfin, des ossements ou des parties de corps appartenant à plus d'un individu ont été déposés dans le comblement supérieur de la large fosse peu profonde (US 15), immé-



2.2.7 - Fig. 4 : Fouilles du monument II - - Fouille de la zone interne au cercle de pierres dressées dans sa moitié ouest. Un dôme de terre recouvre ici la partie ouest d'une construction en terre crue (clichés B - vue du nord et C - vue du sud) contre laquelle des ossements humains appartenant à deux individus différents (cliché D) auxquels été associée une pointe de lance en fer (cliché F). Une fosse avait été creusée dans le dôme de terre où fut déposée une houe, ou du moins où nous avons retrouvé une lame de houe à emmanchement interne (cliché G). Lors de la construction du dôme de terre, quelques nodules de latérite ont roulé vers l'extérieur, sur un niveau qui se trouve en dessous de la base de la passe 3, à l'extérieur du cercle de pierres dressées (cliché A - vue du sud). Clichés A. Delvoye, S. Djouad, L. Laporte.



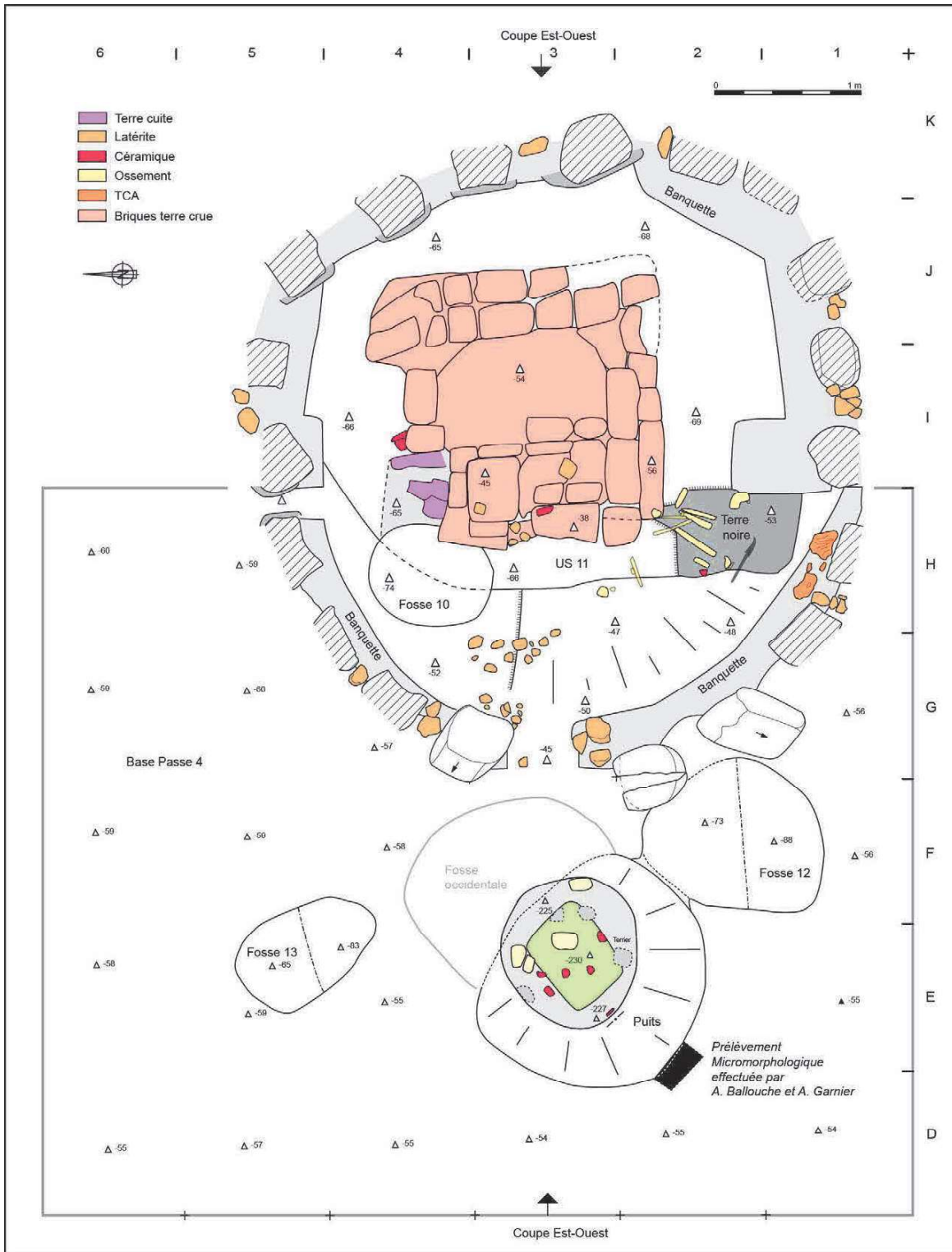
2.2.7 - Fig. 5 : Fouilles du monument II - Lame de houe à emmanchement interne provenant de Casamance ; collection personnelle J. Pollet. Cliché J. Pollet.

diatement à l'ouest de l'US 14 : certains des os longs se trouvent ainsi engagés sous la base des monolithes 1 et 19.

2.2.7.3 - UNE FOSSE EN FORME DE CLOCHE, VIDE DE TOUT VESTIGE, AMÉNAGÉE SUR LE FOND DE CETTE LARGE FOSSE

Sur le plancher de cette large fosse, à l'aplomb du dépôt sépulcral, un bouchon d'argile de moins d'un mètre de diamètre marque l'emplacement de l'embouchure d'une autre fosse, en forme de silo, beaucoup plus étroite mais plus profonde encore (2.2.7 - Fig.8 D et H). Le niveau à partir duquel l'embouchure de cette fosse a été creusée dans le sol se trouve ainsi très largement en dessous de la base des monolithes du monument II. Elle est aussi décentrée au sein de l'emprise du cercle de pierres dressées (2.2.7 - Fig.8 G). L'embouchure quadrangulaire de cette fosse en forme de cloche, marquée par un sédiment plus

sombre sur une dizaine de centimètres d'épaisseur, est apparue très nettement dès la dépose des niveaux sépulcraux (2.2.7 - Fig.11 A et B). Le comblement de la fosse proprement dite se distingue moins nettement de l'encaissant. Il est toutefois plus hétérogène que ce dernier dont il se distingue par des teintes plus claires ou plus sombres, une texture parfois plus meuble et une densité beaucoup plus inégalement répartie en pisolithes. Sur le fond de fosse, on trouve parfois - ici également - un léger surcreusement à la base des parois qui rend compte du processus technique mis en œuvre (2.2.7 - Fig.10 C et D). Quelques trous de piquets disposés en arc de cercle le long de la paroi, dans son quart nord-est, suggèrent l'existence d'une structure en matière périssable (2.2.7 - Fig.11 C) trous de piquets peu visibles. L'absence de mobilier archéologique, comme de tout dépôt sépulcral, au sein de son comblement ne saurait remettre en cause l'existence de ce creusement : c'est



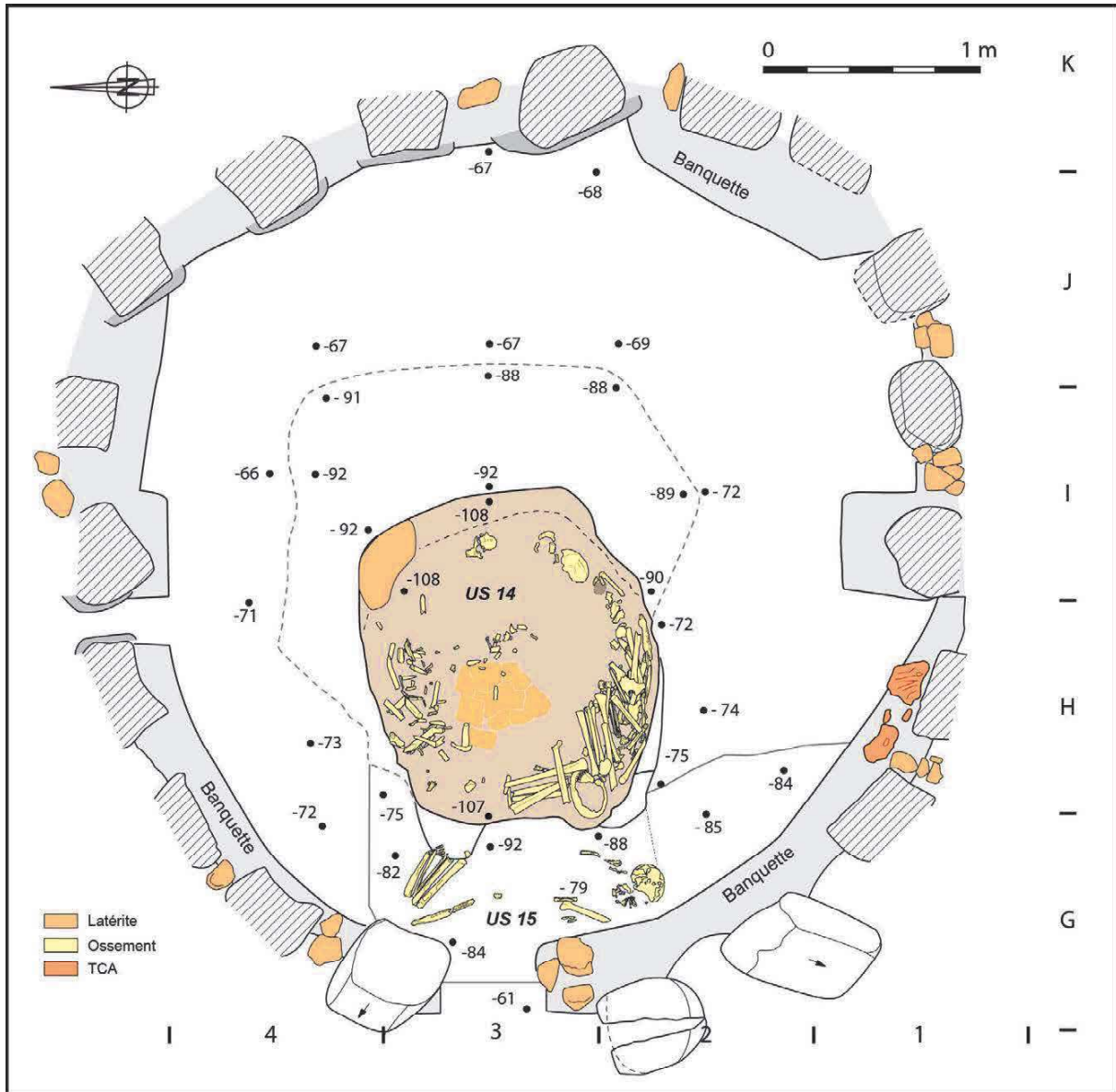
2.2.7 - Fig. 6 : Fouilles du monument II - Plan de la plateforme en terre, au centre du cercle de pierres dressées, et des décapages de la passe 4 à l'ouest. Les altimétries sont en cm et rapportées au niveau 0 du chantier. Relevés de terrain : A. Athié, S. Djoud et L. Laporte ; DAO L. Quesnel et L. Laporte.



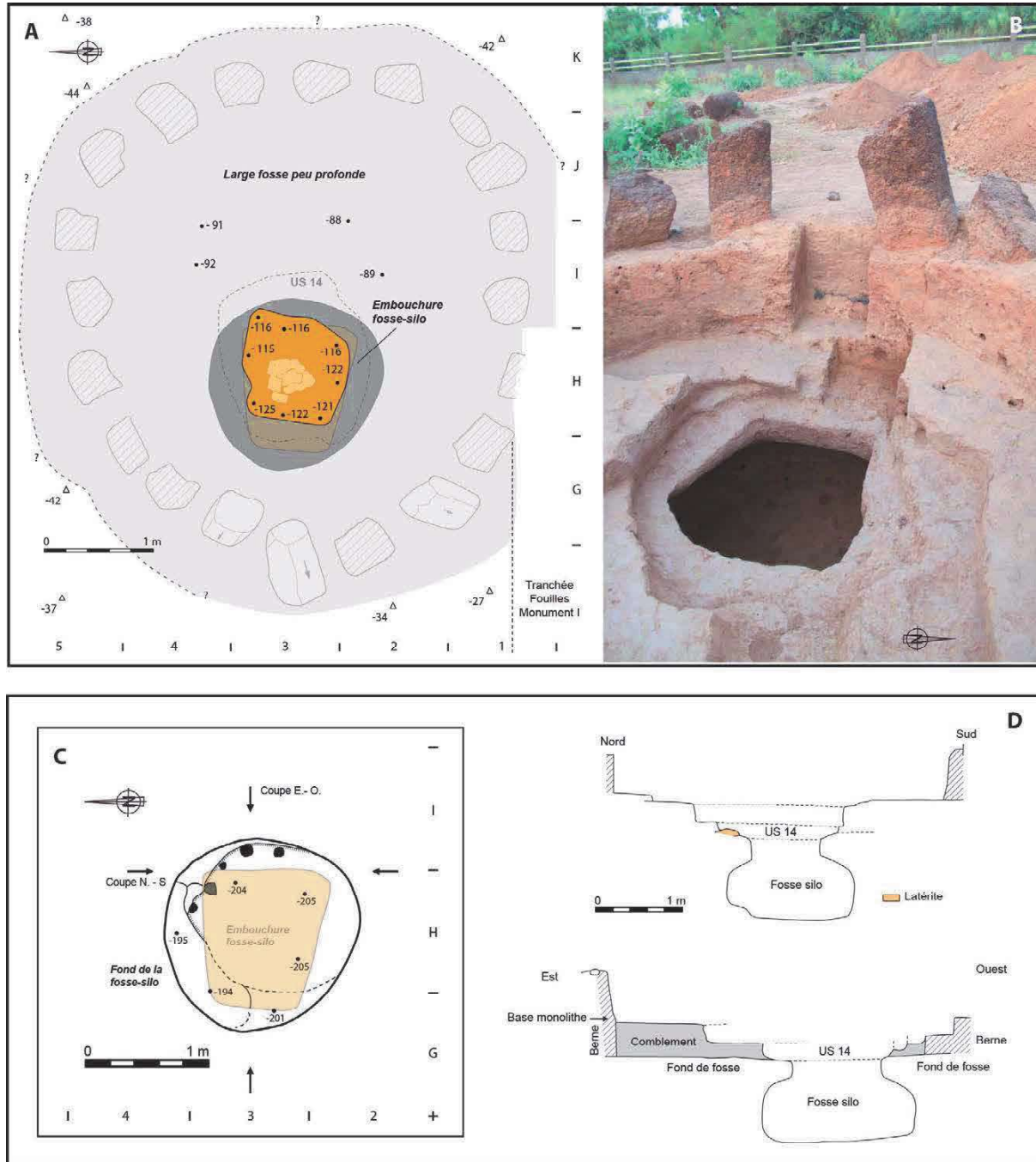
2.2.7 - Fig. 7 : Fouilles du monument II - Zone interne au cercle de pierres dressées - Plateforme en terre crue bâtie en élévation (clichés A et B - vue de l'ouest, C - vue du nord-ouest, D - vue de l'est), puis recouverte par un dôme de terre. Cette plateforme recouvre l'US II (clichés E - vue du nord-est, et G - vue de l'ouest), ainsi que l'US 14 qui contient les dépôts sépulcraux (cliché H - vue du sud). Photographies L. Laporte.



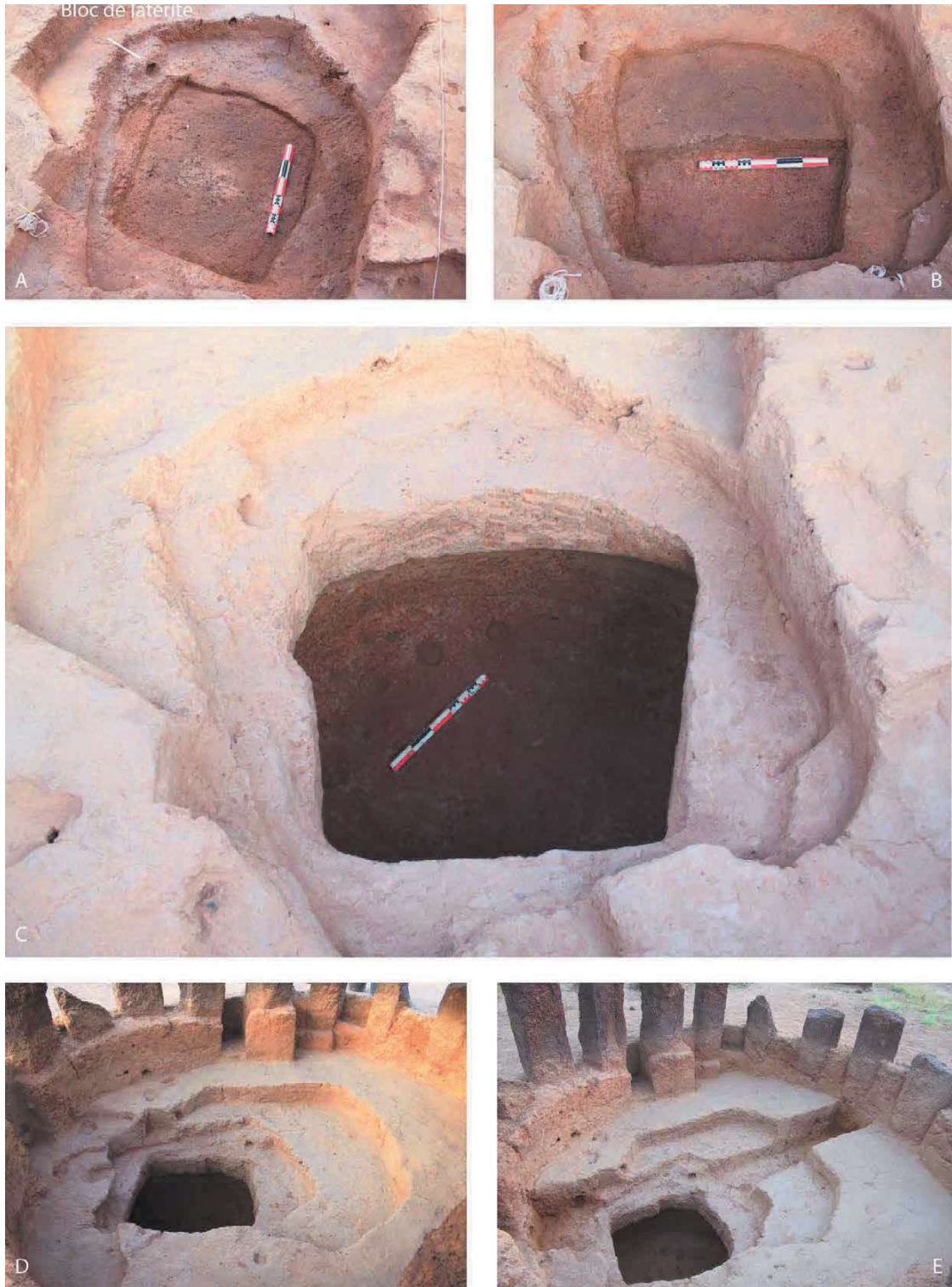
2.2.7 - Fig. 8 : Fouilles du monument II - Dépôts sépulcraux - Les ossements humains sont contenus au sein de l'US 14 : ce sédiment de couleur plus sombre que l'encaissant pourrait correspondre à la présence d'un contenant en matière périssable. La disposition des ossements marque également la présence d'un effet de paroi interne, peut-être de part la présence d'un objet quadrangulaire en matière périssable (clichés A et B - Vues de l'est). Ces ossements humains étaient associés à deux objets de parure en métal cuivreux (clichés E - vue du nord, et F - vue du nord-est). Sous ces dépôts commence à apparaître un bouchon d'argile qui scelle l'embouchure plus étroite d'une fosse sous-jacente en forme de silo (cliché H). À l'ouest, le comblement supérieur de la grande fosse au sein de laquelle ouvre cette fosse-silo contient également les restes d'au moins un individu (US 15 - clichés D et G). Photographies L. Laporte.



2.2.7 - Fig. 9 : Fouilles du monument II - Dépôts sépulcraux sous-jacents au cercle de pierres dressées. Les altimétries sont en cm et rapportées au niveau 0 du chantier. Relevés de terrain : L. Rocha, J.-P. Cros et P. Lamotte ; DAO : J.-P. Cros, L. Quesnel et L. Laporte.



2.2.7 - Fig. 10 : Fouilles du monument II - Une fosse en forme de silo dont l'embouchure, scellée par un bouchon en briques de terre crue, ouvre sur le fond d'une fosse plus large et peu profonde, à l'aplomb des dépôts sépulcraux de l'US 14. Les altimétries sont en cm et rapportées au niveau 0 du chantier. Relevés de terrain : L. Rocha, P. Lamotte et L. Laporte ; DAO L. Quesnel et L. Laporte ; Cliché L. Laporte.



2.2.7 - Fig. 11 : Fouilles du monument II - Une fosse en forme de silo dont l'embouchure ouvre sur une plus large fosse moins profonde. L'embouchure de la fosse est quadrangulaire (clichés A et B - vues de l'ouest). Sur le fond de cette fosse en forme de silo, de petites dépressions circulaires pourraient correspondre à l'emplacement de piquets (cliché C). En fin de fouilles, une tranchée transversale nord-sud a été réalisée dans l'emprise du cercle de pierres dressées qui a permis de reconnaître l'interface entre le substrat et le fond de la fosse plus large et moins profonde (Cliché E - vue du sud). Le comblement de cette fosse n'a donc pas été fouillé dans son intégralité (Cliché D - vue du sud). Photographies L. Laporte et P. Lamotte.

là un point que nous serons amenés à discuter par la suite. De la même façon, à l'issue de la campagne de fouille, une tranchée transversale nord-sud a permis de valider l'existence d'une grande fosse peu profonde, dont les US 11, 14 et 15, par exemple, ne sont que des unités sédimentaires distinctes au sein de son comblement (2.2.7 - Fig.12).

2.2.8 – Dépôts sépulcraux sous le monument II - Etude Anthropologique.

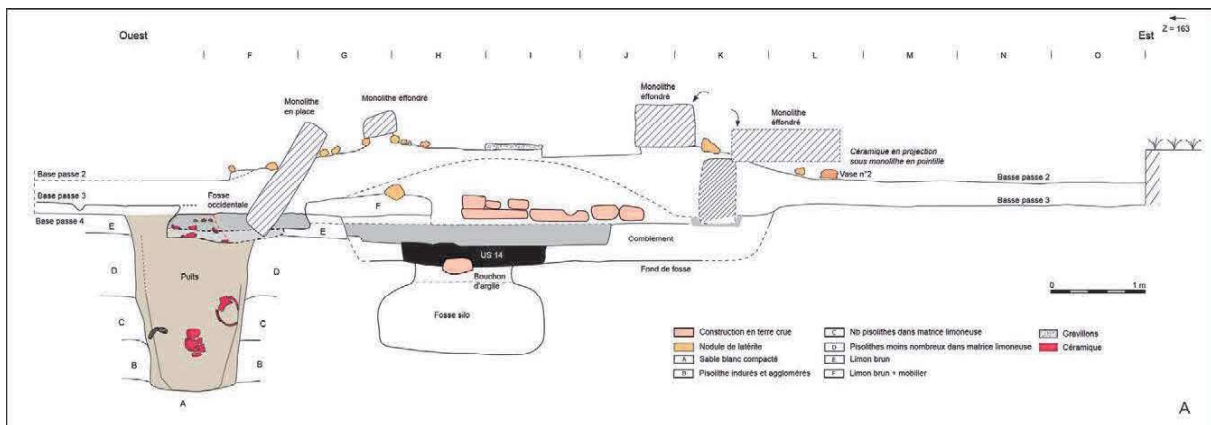
Par J.-P. Cros et S. Djouad

Débutée en 2015, la fouille du monument II de Wanar été menée à son terme lors de la mission de terrain 2017. Ce monument livre en effet quelques particularités qui demandent à être explicitées aux différentes étapes de la fouille. Les observations en anthropologie physique sur les niveaux supérieurs ont été réalisées par Sélim Djouad, en début de campagne 2016 (2.2.8 - Fig. 1), l'étude des parties basses est l'œuvre de Jean-Paul Cros, dans la deuxième partie de cette même mission (2.2.8 - Fig. 2), Luc Laporte ayant terminé le démontage

des derniers ossements de l'US14 en 2017.

2.2.8.1 - LES CORPS DE DEUX INDIVIDUS DÉPOSÉS CONTRE UNE PLATEFORME EN TERRE CRUE

Un anneau en alliage cuivreux, disposé à plat (vestige n°1000), a été recueilli sur la plateforme bâtie en terre crue postérieurement au comblement d'une grande fosse funéraire sous-jacente. Un sédiment sombre, hétérogène et relativement meuble, à forte composante organique, s'appuie contre la structure en terre crue centrale. La fouille minutieuse de cette unité stratigraphique a permis la mise au jour de 26 fragments osseux humains, près de l'angle sud ouest de la plateforme de terre crue (2.2.8 - Fig. 3). La forte composante organique du sédiment qui recouvrait ces ossements peut être due à la dégradation d'un ou plusieurs aménagements ou contenants en matériaux périssables. Leur état de conservation était médiocre. Ils étaient majoritairement fragmentés et leurs surfaces avaient disparu (2.2.8 - Fig. 4). En outre, nous pouvons affirmer qu'il ne s'agissait pas là de la totalité des os déposés à ce niveau, car une grande quantité d'esquilles osseuses et de traces



2.2.7 - Fig. 12 : Fouilles du monument II - Coupe nord-sud du monument II. Relevés de terrain : A. Delvoye, L. Rocha, P. Lamotte, M. Ndiaye et L. Laporte ; DAO L. Quesnel et L. Laporte.